

### III-13 粘弹性圧密に対する有限要素解析

奈良県 正員 原 一良  
名古屋大学 正員 川本 肇

#### 1. はじめに

弾性材料中の浸透流、あるいは、圧密の問題は、古くから研究されており、M. Biot はいつかの Biot の問題として、飽和弾性土の圧密沈下の解析を行なっている。しかし、複雑な形状や任意の境界条件に対してはすつきりした形の沈下解析が行なわれなかつたか；Sandhu ら<sup>1)</sup>(1969)が Biot の問題に有限要素法を適用するようになつたから、いそかの研究が活発化している。Sandhu らは、飽和弾性土と対象にして、力のつり合方程式とダルシ一則と飽和率(式)で結びつけ、弾性土中の浸透流に対する汎関数を導き、それを有限要素によって定式化し、管状荷重における半無限地盤(平面ひずみ状態)の沈下解析を行なつてゐる。また、別に、横尾ら(1971)も弾性土に対する同様な汎関数を導いてゐる。Terzaghi の圧密理論によれば、粘土中の過剰間け水圧が消散して沈下がある一定値に収束するに至るが、実際にはほとんどして、粘土がその後も沈下を継続する、いわゆる二次圧密現象を示す。この現象を力学モデルを用いて解析的に表現しようとする研究は、Talor と Merchant によって始められた。これでは、Voigt 物体を用いて弾性体に対する解析法を適用して、弾性体中の浸透流に対する汎関数を導き、その解析例を示す。

#### 2. 基礎方程式と汎関数

Biot の問題では粘土の骨組構造と弾性体(図-1a)と仮定してあるが、これは、その変形抵抗自体が(図-1b)に示すよろじに、Voigt 体であると仮定する。この場合に、間げき水の動か水抵抗が小さくなると、時間遅れが生じて沈下を続けることになる。土と水の混合物に対する力のつり合方程式は、向げき水压を  $\bar{u}$  とすると、

$$(\sigma_{ij} + \delta_{ij}\bar{u})_{;j} + F_i = 0 \quad (1)$$

ここで、 $\sigma_{ij}$  は有効応力、 $F_i$  は物体力、 $\delta_{ij}$  はクロネッカーデルタである。また、有効応力  $\sigma_{ij}$  とひずみ  $\varepsilon_{kl}$  との間に、次の関係が成り立つ。

$$\sigma_{ij} = E_{ijkl} \cdot \varepsilon_{kl} + \gamma_{ijkl} \cdot \dot{\varepsilon}_{kl} \quad (2)$$

ただし、 $\gamma_{ijkl}$  は弾性体軟であり、各ひずみ成分に対する一連のひずみを假定すれば、 $\gamma_{ijkl} = \gamma$  となる。また、間げき水压  $\bar{u}$  は、ボテンシャル  $\psi$  に対する  $\bar{u} = -\nabla \psi$  とされる。

$$\bar{u} = -\nabla \psi \quad (3)$$

ここで、 $\Gamma_w$  は水の単位体積重量である。浸透流は、ダルシ一の法則に成り立つものとし、流速  $v_i$ 、透水係数  $k_{ij}$  とすると、

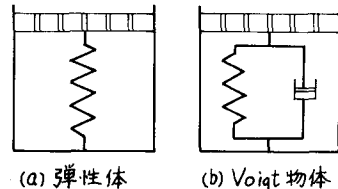


図-1

$$v_i = -k_{ij} \cdot h_j \quad (4)$$

飽和土については、体積ひずみ速度  $\dot{\epsilon}_{ii}$  (下流量に等しいので、次式が成り立つ。

$$\dot{\epsilon}_{ii} = -v_{i,i} \quad (5)$$

初期状態において、体積ひずみを生じていてもよしとすると、(4)式と(5)式より体積ひずみは次のよう、convolution product (\*EP) 表示) を用いて表わす。

$$\dot{\epsilon}_{ii} = (k_{ij} * h_{ij})_{,i} \quad (6)$$

外部境界としては、ボテンシャル水頭  $h$  に対する固定条件をもつ境界  $S_h$  と、流出量が規定される境界  $S_a$  とが考えられる。また、変位  $u_i$  (  $i=1, 2, \dots, n$  ) は、固定条件をもつ境界  $S_u$  と境界荷重が規定される境界  $S_T$  が考えられる。各境界での境界条件は次のよう表わされる。

$$S_h \text{ は } h = h_0, \quad h = h_0. \quad (7), \quad S_a \text{ は } u_i = u_{a,i}, \quad Q = -n_i k_{ij} h_{ij} \quad (8)$$

$$S_u \text{ は } u_i = u_{u,i}, \quad u_i = u_{u,i}. \quad (9), \quad S_T \text{ は } T_i = n_i (\sigma_{ij} - \gamma_w h \delta_{ij}) \quad (10)$$

また、要素  $n$  と要素  $(n+1)$  との内部境界  $S_I$  上では、水頭  $h$ 、変位  $u_i$  の連続性より、流出量の連続条件と応力の連続条件とが得られる。

以上より合計方程式、流体の連続条件式および飽和土に関する条件式を満足し、かつ、境界条件を考慮した汎関数は、弹性体中の浸透流の場合と同様に次式で表される。

$$\Pi = \iiint_{V_n} \left( \frac{1}{2} \gamma_w k_{ij} * h_{ij} * h_{ij} + \gamma_w h * \epsilon_{ii} - \frac{1}{2} \sigma_{ij} * \epsilon_{ij} + F_i * u_i \right) dV + \iint_{S_a} \gamma_w * Q * h dS + \iint_{S_T} T_i * u_i dS \quad (11)$$

### 3. 有限要素に対する定式化

要素内の未知量ベクトル  $(\alpha)^e = [u_{1,i} \ u_{2,i} \ \dots \ u_{n,i} \ h_i \ \dots \ u_{1,m} \ \dots \ u_{n,m} \ h_m]^T$  はより、変位ベクトル  $\{u_i\}$ 、向げた水圧水頭  $h$  は次のよう規定される。

$$\{u_i\} = [A(x)] \{\alpha(t)\}^e \quad (12), \quad h = \{B(x)\}^T \{\alpha(t)\}^e \quad (13)$$

ここで、 $[A(x)]$ 、 $\{B(x)\}$  は要素内に定められた形状関数である。また、 $\alpha$  の成分は (12) 式より、

$$\{\epsilon_i\} = [C(x)] \{\alpha(t)\}^e, \quad \epsilon_{ii} = \{D(x)\}^T \{\alpha(t)\}^e \quad (14)$$

(2) 式は (12) 式を用いて、マトリックス表示すると、左から右へ並んで次のように書きなぶられる。

$$\{\sigma_i\} = [E_{ij}] [C] \{\alpha\} + \gamma [C] \{\dot{\alpha}\} \quad (15)$$

(12) ~ (15) 式と (11) 式に用いた汎関数を計算すると、

$$\hat{\Pi} = \frac{1}{2} \{(\alpha)^e\}^T [N] * \{\alpha\}^e + \{(\alpha)^e\}^T [M] \{\alpha\}^e - \frac{1}{2} \{(\alpha)^e\}^T [L] \{\alpha\}^e - \frac{1}{2} \{(\alpha)^e\}^T [O] \{\alpha\}^e + \{(\alpha)^e\}^T [P] \quad (16)$$

$$\begin{aligned} \text{上式中, } [L] &= \iiint_{V_n} [C]^T [E_{ij}] [C] dV, \quad [M] = \iiint_{V_n} \gamma_w \{B\} \{D\}^T dV \\ [N] &= \iiint_{V_n} \gamma_w [G]^T [k_{ij}] [G] dV, \quad [O] = \iiint_{V_n} \gamma [C]^T [C] dV \\ [P] &= \iint_{S_a} \gamma_w \{B\} * Q dS + \iint_{S_T} [A]^T [T_i] dS + \iiint_{V_n} [A]^T \{F_i\} dV \end{aligned} \quad (17)$$

上式の  $[G]$  はトライクスは水頭勾配  $\{h_{ij}\}$  を規定するものであって、 $\{B\}$  から計算される。

$\{\alpha\}^e$  を未知量ベクトル  $\{\alpha_i\}^e$  と既知量ベクトル  $\{\alpha_s\}^e$  に分けて、  $\{\alpha_i\}^e$  は +3 次関数 (15) の一次変分を計算する。

$$\begin{aligned}\delta \hat{\Pi} &= (\{\delta \alpha_i\}^e)^T \left[ \left( -[L_{11} \ L_{12}] + [M_{11} \ M_{12}] + \begin{bmatrix} M_{11} \\ M_{21} \end{bmatrix} \right)^T \begin{bmatrix} \alpha_1 \\ \alpha_2 \end{bmatrix}^e + [N_{11} \ N_{12}] * \begin{bmatrix} \alpha_1 \\ \alpha_2 \end{bmatrix}^e \right. \\ &\quad \left. - [O_{11} \ O_{12}] \begin{bmatrix} \dot{\alpha}_1 \\ \dot{\alpha}_2 \end{bmatrix}^e + \{P_i\} \right] \\ &= (\{\delta \alpha_i\}^e)^T \left( [Q] \{\alpha_i\}^e + [N_{11}] * \{\alpha_i\}^e - [O_{11}] \{\dot{\alpha}_i\} + \{\hat{R}\} \right)\end{aligned}$$

$$z = r, \quad \{\hat{R}\} = \{R\} - [O_{12}] \{\dot{\alpha}_2\} \quad (19)$$

汎関数の一次変分を零とおくと、 (18) 式より次式が得られる。

$$[Q] \{\alpha_i\}^e + [N_{11}] * \{\alpha_i\}^e - [O_{11}] \{\dot{\alpha}_i\}^e + \{\hat{R}\} = 0 \quad (20)$$

上式で時間に  $\rightarrow$  で微分し、全要素に  $\rightarrow$  で重ね合わせて、時間  $t + \frac{\Delta t}{2}$  で  $\rightarrow$  で表示すると、

$$[Q] \{\ddot{\alpha}_i(t + \frac{\Delta t}{2})\} + [N_{11}] \{\alpha_i(t + \frac{\Delta t}{2})\} - [O_{11}] \{\dot{\alpha}_i(t + \frac{\Delta t}{2})\} + \{\hat{\dot{R}}\} = 0 \quad (21)$$

$z = r$ 、  $\alpha_i$  の  $\dot{\alpha}_i$  は仮定する。

$$\begin{aligned}\{\alpha_i(t + \frac{\Delta t}{2})\} &= \frac{1}{2} (\{\alpha_i(t + \Delta t)\} + \{\alpha_i(t)\}), \quad \{\dot{\alpha}_i(t + \frac{\Delta t}{2})\} = \frac{1}{\Delta t} (\{\alpha_i(t + \Delta t)\} - \{\alpha_i(t)\}) \\ \{\ddot{\alpha}_i(t + \frac{\Delta t}{2})\} &\div \{\dot{\alpha}_i(t)\} = \frac{1}{(\Delta t)^2} (\{\alpha_i(t + \Delta t)\} - 2\{\alpha_i(t)\} + \{\alpha_i(t - \Delta t)\})\end{aligned}$$

上の関係式用いて、 (21) 式を  $\rightarrow$  で表すと

$$\begin{aligned}&([Q] + \frac{\Delta t}{2} [N_{11}] - \frac{1}{\Delta t} [O_{11}]) \{\alpha_i(t + \Delta t)\} \\ &= ([Q] - \frac{\Delta t}{2} [N_{11}] - \frac{2}{\Delta t} [O_{11}]) \{\alpha_i(t)\} - \{\dot{R}(t + \frac{\Delta t}{2})\} + \frac{1}{\Delta t} [O_{11}] \{\alpha_i(t - \Delta t)\}\end{aligned} \quad (22)$$

上式より、  $\{\alpha_i(t)\}$ ,  $\{\alpha_i(t - \Delta t)\}$  が既知なら、  $\{\alpha_i(t + \Delta t)\}$  の分布が求められる。

#### 4. 解析例

軸対称解析の例として、半径  $0.5 m$ , 長さ  $14.0 m$  のサンドハウゼンと半径  $5.0 m$  の影響円を持つ砂柱中に打ち込んだ場合を考え、図-2 に示すように、40 節点に  $\rightarrow$  56 要素に分割し、地表面の沈下形状に拘束を施すものとする。この自由ひずみ状態について、次の条件のもとで解析を行う。

$$\text{初期条件 } (t = 0) : u = u_0 = 5.0 \text{ t/m}^2$$

$$\text{境界条件 } (t > 0) : r = r_w = 0.5 \text{ m}, z = 0 \text{ m } \rightarrow, \bar{u} = 0,$$

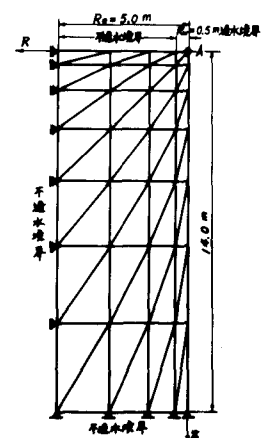
$$r = r_e \rightarrow, \partial \bar{u} / \partial r = 0,$$

$$\text{砂柱の透水係数} : k_r = k_z = 1.0 \times 10^{-5} \text{ m/sec},$$

$$\text{地盤の力学特性} : (i) \text{弾性体 } E = 200 \text{ t/m}^2, \nu = 0.3$$

$$(ii) \text{粘弹性体 } E = 200 \text{ t/m}^2, \nu = 0.3$$

$$\eta = 2.0 \times 10^4 \text{ t-s} \sim 2.0 \times 10^5 \text{ sec-m}^2/t$$



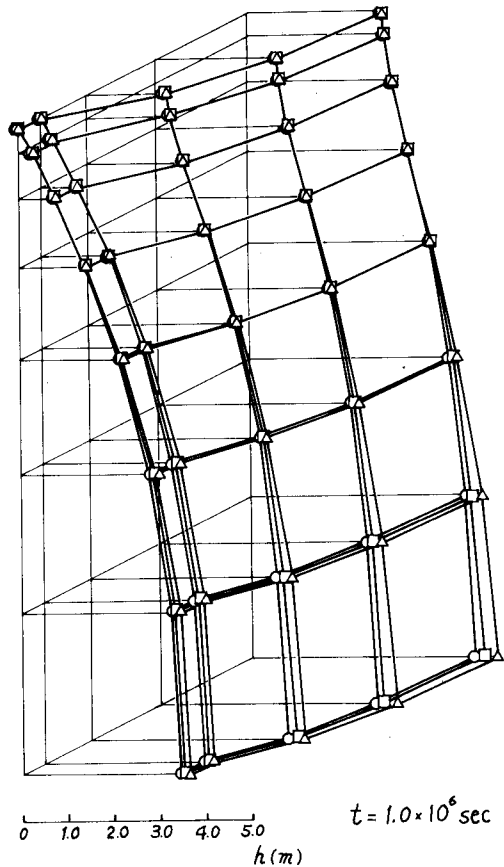
数値解析が終ったときの計算結果について、図-2 は当日の写真

図-2

3か; 向けき水压の  $t = 1.0 \times 10^6$  sec と  $t = 4.0 \times 10^6$  sec の分布を示すと、(2)-3 が図-4 と  
図-5 である。粘弹性体(Toight モデル)の場合(12)、向けき水压は1弹性体の場合より遅れを減少す  
ることわかる。

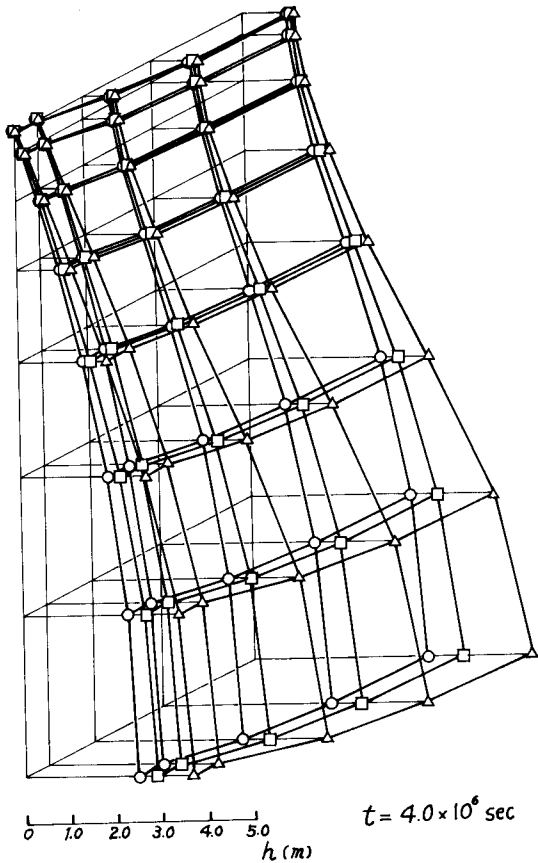
### 参考文献

- 1) Sandhu, R.S. and Wilson, E.L. : J. Eng. Mechs. Div., ASCE, 95, (1969), pp. 641-652.
- 2) Yokoo, T., Yamagata, K., and Nagasaka, H. : Soils and Foundations, (1971), 11, pp. 25-36 and pp. 37-58.



○ 弹性解,  $\square \eta = 2.0 \times 10^4$  sec $\cdot$ m $^2$ /ton  
 $\triangle \eta = 2.0 \times 10^5$  sec $\cdot$ m $^2$ /ton

図-3 向けき水压分布



○ 弹性解,  $\square \eta = 2.0 \times 10^4$  sec $\cdot$ m $^2$ /ton  
 $\triangle \eta = 2.0 \times 10^5$  sec $\cdot$ m $^2$ /ton

図-4 向けき水压分布